

## DINAMIKA HIDROKEMIJSKIH DETERMINANTI RIJEKE SAVE OD JASENOVCA DO SLAVONSKOG BRODA U 1978 GODINI

### Dynamics of hydrochemical determinants of the Sava River from Jasenovac to Slavonski Brod in 1978.

VIDA JUNG

Rep. hidrometeorološki zavod SRH, Zagreb

Primljeno 23. ožujka 1989., u konačnom obliku 19. svibnja 1989

**Sažetak:** Prikazana je korelacijska veza kemijskih, hidroloških, pedoloških i meteoroških karakteristika rijeke Save. Razmatran je kvalitet vode rijeke Save pod utjecajem onečišćenja vodotoka lijevih i desnih pritoka Save. Dobiveni podaci iz simultanih analiza rijeke Save koriste se za određivanje samopropričišćenja (autopurifikacije) vodotoka zimi i ljeti u 1978. godini. Svrha ovoga rada je da se dobije uvid u pravo stanje vodotoka s jakim meandrima, snažnom turbulentom, osjetljivom promjenom brzine strujanja te jakom dinamikom onečišćenja. Uzorkovanje je vršeno simultano i to tako da su se sinhronizirano vršila mjerenja kroz 3 do 4 dana.

**Ključne riječi:** simultana analiza, autopurifikacija, meandar, turbulentija, sinhronizacija.

**Abstract:** The correlation between chemical, hydrological, pedological and meteorological characteristics of the Sava River is presented. This paper discusses the Sava River water quality under the influence of pollution from the Sava's left and right tributaries. Data obtained from simultaneous analysis of the Sava River was used for determination of autopurification of the water during the winter and summer seasons of 1978. The purpose of this work was to obtain an understanding of the actual situation concerning the river with a strong meandering and turbulence sensitive to changes of velocity stream and with strong pollution dynamics. Sampling was done simultaneously so that synchronized measurements were performed during three to four days.

**Key words:** Sava River water quality, autopurifications, simultaneous analysis of Sava's water

#### 1. UVOD

U ovom radu obradena je dinamika hidrokemijskih determinanti rijeke Save od Jasenovca do Sl. Broda u 1978. godini sa dvije simultane analize.

S obzirom da su simultane analize izvođene i razmatrane u cilju određivanja kompleksnih promjena kvalitete vode rijeke Save uslijed dotoka lijevih i desnih pritoka u zimskim i ljetnim uvjetima, u zimi je bila simultana analiza od 16/19. 1. a u ljeti od 29.8./1. 9. 1978. godine.

U mezozoiku sлив Save prekrivalo je more Tetis, na čijem su se dnu nagomilali slojevi stijena uglavnom krečnjaci i dolomiti. Dolina donjeg toka Save je aluvijalna ravničica, koja je od Jasenovca širine 16 km, kod Stare Gradiške 4 km a kod Slavonskog Broda 12 km.

U samoj dolini rijeke Save sudjeluju kvartarne, pliocenske i oligocenske naslage. Klima u dolini Save je humidna. U nizvodnom toku Sava stvara mnogo meandera. Korito je vodopropusno porozno i prolazi kao glavna arterija kroz aluvijalne naslage.

#### 2. Karakteristike lijevih i desnih pritoka rijeke Save

##### 2.1. Desne pritoke koje smo promatrati

**Una** je velikim dijelom granična rijeka. Izvire u brdima Plješivice. Korito Une se probija uskom dolinom kanjona do ušća u Savu. Geološku podlogu najvećeg sliva čine lapor, pješčenjaci i razni konglomerati. U početku gomičaju se velike količine nanosa iz okolnih brda i uzrokuju nepravilan tok, zatrpanjanje i meandriranje njenog toka.

**Jablanica** je bujični vodotok, koji se direktno ulijeva u Savu a nalazi se u SR Bosni i Hercegovini između rijeke Une i Vrbasa. Geološku podlogu većeg dijela čine pijesak, šljunak i glina te lapor i laporasti vapnenac.

**Vrbas** se probija od izvora do Banja Luke a od Banja Luke nizvodno protiče ravnicaškim područjem sve do ušća u Savu. Geološku podlogu čine razne vrste škriljeva, lapor i gline.

**Ukrina** je područje koje se nalazi na brdovitom terenu. Geološku podlogu čine serpentini, koji je na brdovitim mjestima gdje se ogoljen raspada pod djelovanjem atmosferilija.

## **2. 2. Lijeve pritoke koje smo promatrali**

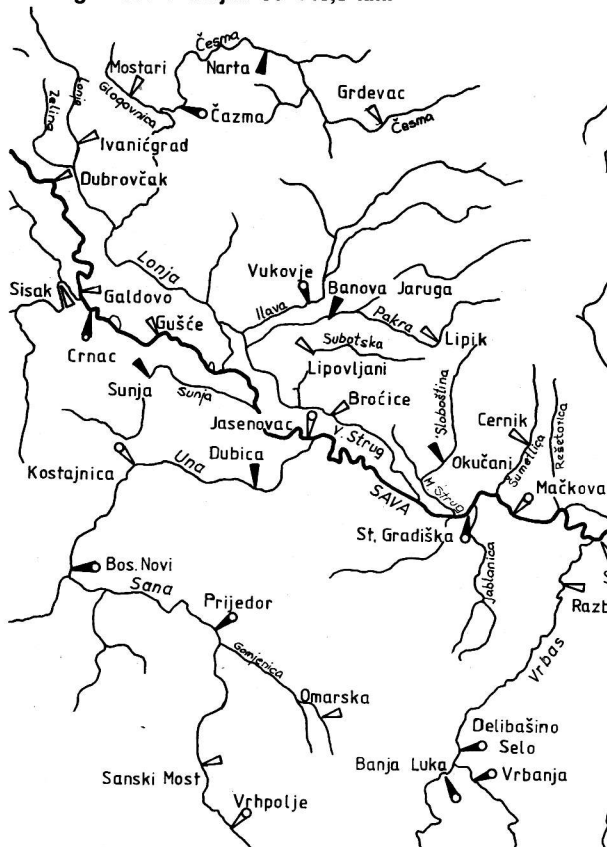
**Veliki Strug** U ovaj sliv ulaze bujični vodotoci, lijevi pritoci kanala Veliki Strug, koji skuplja vode sa južnih padina Novske i okolnih brda. Taj sliv se prostire na potezu od sela Lipovljani do Okučana. Geološki sastav spomenutih obronaka Psunja čine mladi sedimenti kvar-tara i pliocena. U dolinskom dijelu sliva u nizini to su većinom obradiva zemljišta, dok je veći dio pod udarom poplavnog područja Save.

**Sloboština (Mali Strug)** Pritoci što sačinjavaju Sloboštinsku slijevaju se sa južnih padina Psunjha. Često su vrlo strmih nagiba i prolaze terenom, koji je podložan erozijonom djelovanju atmosferilija. Geološka podloga sastavljena je od gnajs škriljevaca, vapnenaca i pješčenjaka. U samom slivu ima dosta devastiranih šuma pa i golih površina.

**Rešetarica** spada u bujice, prolazi kroz gusto naseljen kraj te popavljuje njive i oranice. Kod sela Rešetara ulijeva se u Savu. To je sliv koji je izduženog oblika sa razgranatom mrežom strmih i bujičnih vodotoka, koji se slijevaju niz padine Psunja. Geološki sastav sačinjavaju vapnenci, lapori i škriljevci dok u nizinskom dijelu čine naslage šljunka, pjeska i gline. Može se reći da prolazi i ugrožava samo naselje Novu Gradišku.

**Orjava** je najduža i najveća lijeva pritoka Save. Izvire na obroncima Psunja, Papuka i Krndije. Orjava je glavni otplovni recipijent za sve vodotoke Požeške kotline. Kod Pleternice zaokreće prema jugu. Klima je u tom području humidna. U sливу су razvedene doline okolnih brda tako da nailazimo na procese dubinskih erozija. Geološki sastav Požeške gore sastavljen je od naslaga oligocena i eocena i laporne qline, čak možemo reći da se nailazi na vrtače

## **Sl. 1. Situacioni nacrt rijeke Save od Jasenovca do Slavonskog Broda u duljini od 146,5 km.**



kraškog karaktera. U Savu se ulijeva kod Slavonskog Kobaša.

**Mrsunja** je glavni otplovni recipijent Jelas Polja. Proteže se centralnim dijelom područja od Oriovca do Slavonskog Broda, gdje se ulijeva u Savu. Geološku podlogu čine tvorevine tercijara u višim predjelima, dok diluvij i aluvij susrećemo samo u nižim predjelima. U ovom slivu nema otvorene površinske erozije, nego samo pojавa linearne erozije. Štete nastaju uslijed naglog slijevanja oborinskih voda i odnošenjem nanosa u lateralni kanal, gdje se brže taloži te nastaje zamuljenje.

**3. Obrada i ispitivanje kemijskih rezultata simultanih analiza izrađenih u zimskom periodu od 16/19. 1. kao i 29. 8 / 1. 9. 1978 godine.**

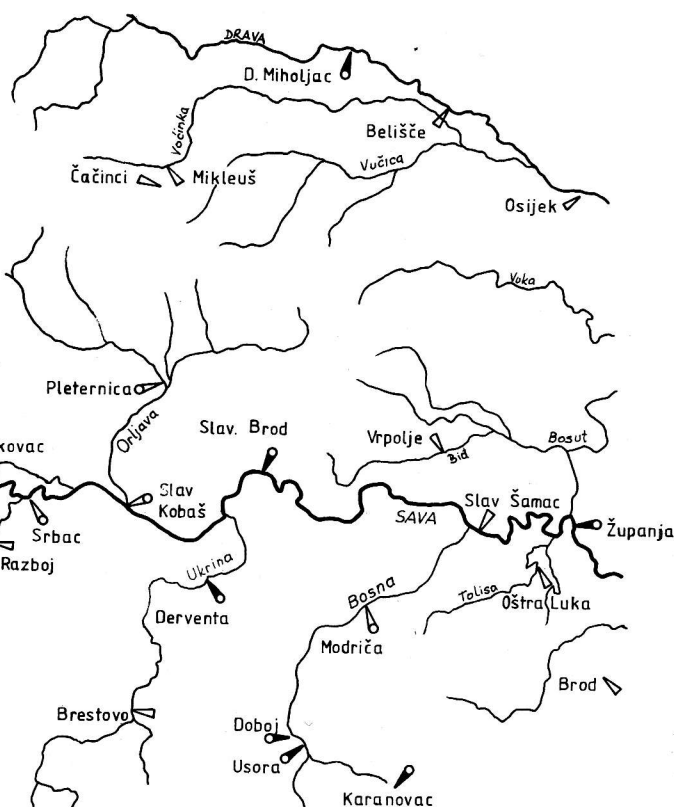
Ispitivanja su vršena u sektoru rijeke Save od Jasenovca do Slavonskog Broda dugom 146,5 km, u okviru kojeg su odabrane slijedeće dionice kao i profili. Sinhronizacija uzimanja uzoraka vrše se sa velikom točnošću ukoliko je svaka dionica vrlo kratka.

## Profili su:

Jasenovac – Gradiška	50,3 km
Gradiška – Davor	37,9 km
Davor – Kobaš	26,0 km
Kobaš – Dubočac	14,9 km
Dobočac – Sl. Brod	17,4 km
	146,5 km

Situacioni nacrt rijeke Save dan je na sl. 1.

**Fig. 1. Situation plan of the River Sava from Jasenovac to Slavonski Brod from 146.5 km.**



Simultano praćenje promjena kvalitete vode veće trajnosti može se vidjeti iz ovog segmenta. Uzeli smo baš dio Jasenovac – Sl. Brod sa utjecajem lijevih i desnih pritoka. Oborinska voda ima mnogo udjela u tome, jer su ona posredni parametar, koja unosi nečistoće iz same atmosfere te sa površine zemljišta kojeg ispire.

Oborine utječu na temperaturu vodotoka kao i na koncentraciju kisika i prisutnost organske tvari, kao i na suspendiranu tvar.

**Protoka** je direktno ovisna o oborinama a ujedno utječe i na koncentraciju pojedinih reaktanata.

Pritoci koji ulaze u vodotok djeluju na kemijsam promatrano vodotoka, tako da su rezultati parametara koncentrirani. Osim toga velik je utjecaj čovjeka na vodotok (širenje urbanih sredina, industrijalizacije, poljoprivrede, te sve što je pod utjecajem volje čovjeka.)

Stoga je vrlo važno da se uzima u odabir manje kemijskih parametara a ne svi.

Da bi se dobio potpuniji tok autopurifikacije, vršena su sinhronizirana mjerena, te je za to najbolje uzeti ove determinante: utrošak  $KMnO_4$ ,  $BPK_5$ ,  $O_2$ ,  $NO_3^-$ ,  $NH_4^+$ , ukupni  $PO_4^{3-}$  i pH vrijednost.

Voda koja sadrži organske i neorganske tvari ljudskog i životinjsko i biljnog porijekla utrošiće određenu količinu  $KMnO_4$  na njihovu oksidaciju.

Kisik se nalazi otopljen u vodi. Dolazi iz atmosfere apsorcijom, te padom temperature i porastom pritiska njegova količina raste uslijed valova i kapljica. Izvor kisika može biti i u procesu fotosinteze, koja se vrši pod utjecajem klorofila i razmnožavanjem modrozelenih algi. Biokemijska potrošnja kisika nakon pet dana označava količinu kisika u površinskim vodama, koja se utroši u procesu razaranja organskih tvari pod djelovanjem aerobnih bakterija.

Biokemijska potrošnja kisika određuje se metodom po Winkleru. Dobiva se iz razlike koncentracije otopljenog kisika u trenutku uzimanja uzorka i koncentracije otopljenog kisika nakon pet dana. Uzorak se pohranjuje na  $293,15^\circ K$  u tami u vodenom termostatu.

Određivanje pH vrijednosti vrši se potenciometrijski pomoću pH – metra sa točnošću od  $0,02^\pm mV$ . Možemo reći da se pH vrijednost mjeri od 0 – 14 na skali, te da je elektroda uvijek napunjena do oznake sa zasićenom otopinom  $KCl$ . Nitrati su krajnji proizvod oksidacije dušikovih proizvoda. Ako ih ima u velikim količinama, mogu ukazati da je to zagadenje od zemlje. Međutim, može se reći da su oni nastali u ranijoj geološkoj formaciji. Ukoliko je tako može se objasniti da njihovo prisustvo nije štetno.

Amonijak se nalazi u vodi u obliku soli klorida, karbonata i sl. No ukoliko ga ima u vodi mnogo, on tada potjeće od huminskih tvari ili je redukcioni proizvod.

Fosfati služe za eutrofikaciju, te govorimo da su i nepoželjni zato se oni izbacuju iz detergenata, koji su škodljivi za vodotok. Eutrofne su one vode koje sadrže mnogo hranljivih tvari i da im je zato bogata organska produkcija. ( $Eu = \text{dobar}$ ,  $trophos = \text{hranjiv}$ ). Kalcij nam ukazuje na tvrdoću vode i to karbonata  $CaCO_3$ .

Nakon uzimanja potrebnog broja uzoraka na profilima na rijeci Savi i pritokama izvršeno je registriranje promjena vodostaja i pritoka na tri karakteristična profila, tj. Ja-

senovcu, S.Gradiški i Sl. Brodu i na osnovu konsumpcionih krivulja odredene su protoke ( $Qh$  diagram). Iz ustanovljenih podataka hidrološke situacije za vrijeme simultane analize vidi se da je uzimanje uzoraka provedeno za vrijeme slabog vodnog vala sa karakteristikama navedenim u izvještaju za pet profila rijeke Save (Crnac, Gradiška, Davor, Kobaš i Sl. Brod).

Općenito znamo da utjecaj na vodotok imaju one oborene koje padnu na priobalno područje jer one stvaraju u vodotoku veće ili manje vodne valove. U proljeće i jesen prevladavaju velike vode, dok u zimi i ljeti prevladavaju manje i male vode sa smanjenim učešćem vodnih valova. Osobine tih vodnih valova su takove da u prvoj trećini vodnog vala, tj. kod stvaranja vodnog vala dolazi do pojave turbulentnog gibanja vodnih masa i stvaranja pomicanja mase suspendiranih čestica.

U drugoj trećini vodnog vala stvara se čelo vala s najvećom energijom i turbulentnjom gibanja vode. U zadnjoj trećini vodnog vala dolazi do smirivanja turbulentnog i taženja suspendiranih tvari.

Kod simultanih analiza potrebno je da se izvrši ustanovljavanje protoka vode u pojedinim profilima, zato jer u prirodi postoje rijetko uvjeti za stacionarno tečenje.

#### 4. METODE RADA

Vršene su analize otopljenog kisika u vodi, utroška  $KMnO_4$ ,  $BPK_5$  (biokemijska potrošnja kisika nakon 5 dana), suspendirana tvar i koncentracija iona  $Ca$  u vodi. Osim toga vršeno je određivanje pH vrijednosti,  $NH_4^+$ ,  $NO_3^-$  i  $\Sigma PO_4^{3-}$ .

– Biokemijska potrošnja kisika se određuje metodom po Winkleru. Dobiva se iz razlike koncentracije otopljenog kisika u trenutku uzimanja uzorka i koncentracije otopljenog kisika nakon pet dana. Uzorak se pohranjuje u vodenom termostatu na  $293,15^\circ K$ . Uzimaju se tri bočice od  $0,1 dm^3$ . U svaku se stavi uzorak vode, dok se uzorku na terenu doda  $0,5 cm^3$  otopine  $MnCl_2$  kao i  $0,5 cm^3$  alkalne otopine kalijeva jodida. U prisutnosti mnogo kisika talog je mrke boje. Talog se otapa u koncentriranoj sumpornoj kiselini titira s  $0,01$  otopina  $Na_2S_2O_3$  uz indikator škrob do svijetlo modre boje, s tim da se titrira potpuno do točke ekvivalencije (do obezbojenja).

– pH vrijednost je mjerena pomoći pH-metra.

– Kalcij se određuje kompleksometrijski. Uzme se  $0,05 dm^3$  uzorka vode otopina zaluži 8%–tnom  $NaOH$  ( $pH \sim 12$ ) uz indikator murexid i titira se s  $0,01 M Na_2EDTA$ . Prelaz boje je iz ružičaste u kardinal ljubičastu boju, odnosno do točke ekvivalencije.

– Određivanje suspendirane tvari vrši se tako da se pripremljeni izvagani filter papir stavi u lijevak za brzu filtraciju. U litrenu menzuru stavi se do oznake da uzorak stoji dva dana. Nakon toga uzorak se profiltrira kroz filter papir plave vrpce i ostavi da stoji te se pusti da se filter papir osuši i nakon sušenja se važe u termostatu na temperaturi od  $378,15^\circ K$ . Razliku punog i praznog filter papira daje nam suspendiranu tvar u  $mg/dm^3$ . Određivanje utroška  $KMnO_4$  po Kübellu, vrši se tako da se uzima  $0,1 dm^3$  uzorka vode. Voda se zakiseli sa otopinom sumporne kiseline (1:3) radi otklanjanja organske tvari. Doda se otopina  $0,01 N KMnO_4$  i kuha deset minuta. Nakon toga stavlja se  $0,01$  otopina  $C_2H_2O_4$  do obezbojenja. Retitracijom sa  $0,01N$  otopinom  $KMnO_4$ , dobiva se utrošak pomnožen sa određenim faktorom. Ujedno se određuje i titar  $0,01N$  otopine  $KMnO_4$ .

Tabela 1. Rezultati analiza pritoka od 16–19. 1. 1978. god.

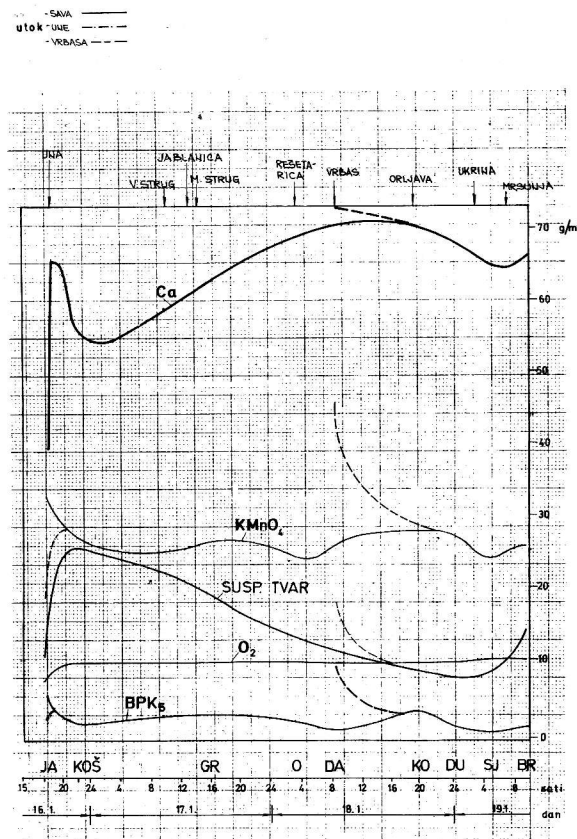
Table 1. Results of analysis of tributaries from 16–19. 1. 1978.

Naziv pritoke	O <sub>2</sub> mg. dm <sup>-3</sup>	BPK <sub>5</sub> mg. dm <sup>-3</sup>	KMnO <sub>4</sub> mg. dm <sup>-3</sup>	susp. tvar mg. dm <sup>-3</sup>	Ca mg. dm <sup>-3</sup>	NH <sub>4</sub> <sup>+</sup> Nmg. dm <sup>-3</sup>	NO <sub>3</sub> <sup>-</sup> Nmg. dm <sup>-3</sup>	pH	ΣPO <sub>4</sub> <sup>3-</sup> filtrat mg. dm <sup>-3</sup>
Veliki Strug	9,7	3,0	27,6	23,0	59	0,79	3,1	7,1	0,110
Mali Strug	9,8	3,5	26,0	20,0	63	0,79	3,1	7,3	0,120
Jablanica	9,8	4,0	25,0	20,0	61	0,795	3,2	7,25	0,120
Rešetarica	9,8	2,5	24,0	14,0	68,5	0,32	3,0	7,75	0,130
Orljava	9,7	6,0	26,3	9,5	70,0	0,31	3,0	8,50	0,100
Ukrina	10,0	2,0	25,0	8,5	67,0	0,30	1,4	8,25	0,170
Mrsunja	10,0	1,5	24,5	9,0	64,0	0,24	1,9	7,75	0,160
Una	7,6	3,0	20,7	10,1	33,0	0,23	1,4	7,70	0,190
Vrbas	9,5	9,9	47,0	18,0	73,0	0,14	3,7	8,2	0,025

SI. 2. Rijeka Sava - simultana analiza 16–19. 1. 1978. promjene koncentracija iona Ca, KMnO<sub>4</sub>, suspendirane tvari, O<sub>2</sub>, BPK<sub>5</sub>, na sektoru Jasenovac – Sl. Brod.

Fig. 2. River Sava – simultaneous analysis 16–19. 1. 1978. change of concentration ion Ca, KMnO<sub>4</sub>, suspended matter, oxygen, BPK<sub>5</sub>, on the section of Jasenovac – Sl. Brod.

RIJEKA SAVA – SIMULTANA ANALIZA 16.1./19.1. 1978.  
PROMJENE KONCENTRACIJA IONA Ca, KMnO<sub>4</sub>, SUSP. TVARI  
O<sub>2</sub> i BPK<sub>5</sub> NA SEKTORU JASENOVAC-BROD (146,5)



SI. 3. Rijeka Sava – simultana analiza 16–19. 1. 1978. promjene pH vrijednosti i koncentracija iona NH<sub>4</sub><sup>+</sup>, NO<sub>3</sub><sup>-</sup> i ukupni PO<sub>4</sub><sup>3-</sup> (filtrat) na sektoru Jasenovac – Sl. Brod.

Fig. 3. River Sava – simultaneous analysis 16–19. 1. 1978. change of pH value and concentration ionum emonium, nitrate and total phosphorus (filtrate) on the section of Jasenovac – Slavonski Brod.

RIJEKA SAVA – SIMULTANA ANALIZA 16.1./19.1. 1978.  
PROMJENE pH VRIJEDNOSTI I KONCENTRACIJA IONA NH<sub>4</sub><sup>+</sup>,  
NO<sub>3</sub><sup>-</sup> i ΣPO<sub>4</sub><sup>3-</sup> (FILTRAT) NA SEKTORU JASENOVAC-BROD (146,5)

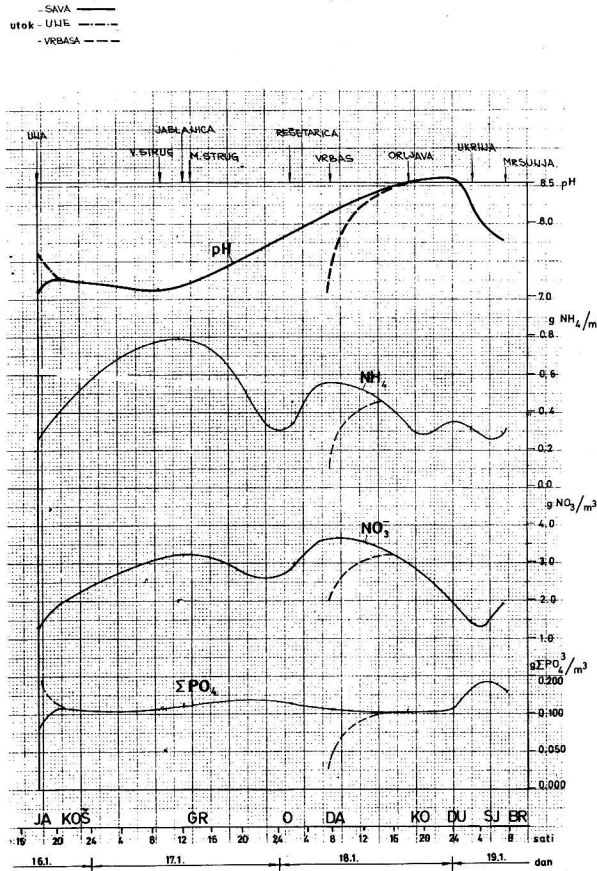


Tabela 2. Rezultati analiza pritoka od 29. 8–1. 9. 1978. god.

Table 2. Results of analysis of tributaries from 29. 8–1. 9. 1978.

Naziv pritoke	O <sub>2</sub> mg. dm <sup>-3</sup>	BPK <sub>5</sub> mg. dm <sup>-3</sup>	KMnO <sub>4</sub> mg. dm <sup>-3</sup>	susp. tvar mg. dm <sup>-3</sup>	Ca mg. dm <sup>-3</sup>	NH <sub>4</sub> <sup>+</sup> Nmg. dm <sup>-3</sup>	NO <sub>3</sub> <sup>-</sup> Nmg. dm <sup>-3</sup>	pH	ΣPO <sub>4</sub> <sup>-3</sup> filtrat mg. dm <sup>-3</sup>
Veliki Strug	5,0	2,0	38,0	8,0	71	0,26	0,80	7,6	0,72
Mali Strug	4,9	2,5	37,2	16,2	71,5	0,25	0,90	7,74	0,72
Jablanica	4,8	2,0	38,0	8,0	71	0,25	0,90	7,68	0,73
Rešetarica	5,6	1,5	38,0	33,7	72,0	0,20	3,8	8,03	0,72
Orjava	5,0	2,0	39,0	40,3	71,0	0,17	3,6	7,74	0,59
Ukrina	4,99	2,1	38,5	40,5	72,0	0,19	3,7	7,80	0,58
Mrsunja	5,70	2,0	39	96,1	71	0,27	2,4	7,62	0,58
Una	7,3	3,6	67,4	3,58	75	0,32	0,68	7,6	0,50
Vrbas	10,0	6,7	134,6	16,2	71,5	0,34	1,0	7,3	0,50

SI. 4. Rijeka Sava – simultana analiza 29. 8.–1. 9. 1978. promjene koncentracija iona Ca, KMnO<sub>4</sub>, suspendirane tvari, O<sub>2</sub>, BPK<sub>5</sub> na sektoru Jasenovac – Sl. Brod.

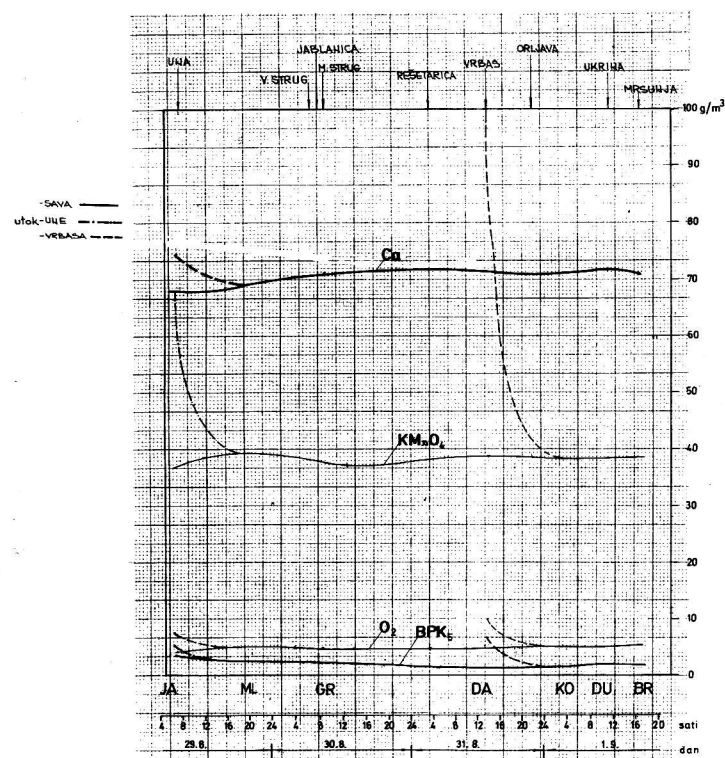
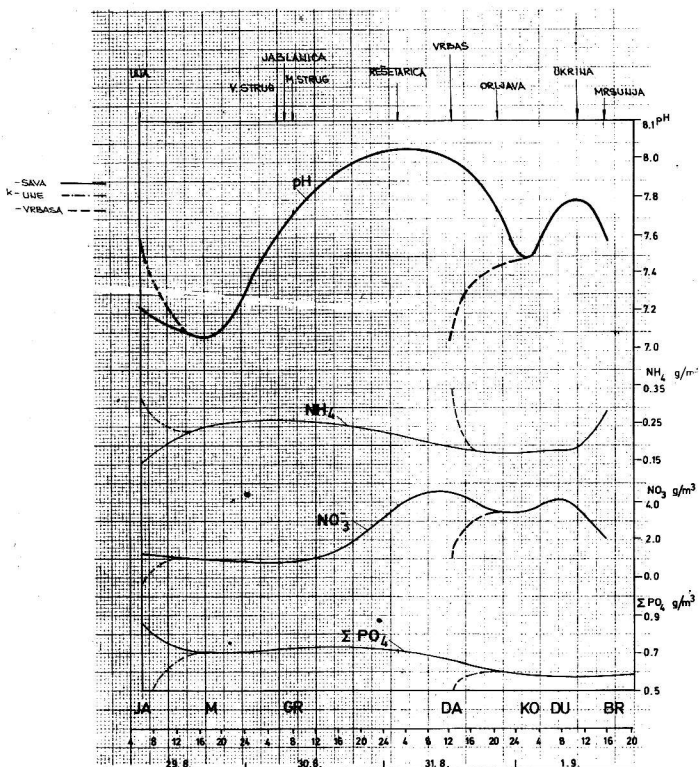
Fig. 4. River Sava – simultaneous analysis 29. 8.–1. 9. 1978 change of concentration ionum Ca, KMnO<sub>4</sub>, suspended matter, oxygen, BPK<sub>5</sub> on the section of Jasenovac – Sl. Brod.

RIJEKA SAVA – SIMULTANA ANALIZA 29.8./1.9. 1978.  
PROMJENE pH VRIJEDNOSTI I KONCENTRACIJA IONA NH<sub>4</sub>  
NO<sub>3</sub><sup>-</sup> i Σ PO<sub>4</sub><sup>-3</sup> (FILTRAT) NA SEKTORU JASENOVAC-BROD (1465)

SI. 5. Rijeka Sava – simultana analiza 29. 8.–1. 9. 1978. promjene pH vrijednosti i koncentracija iona NH<sub>4</sub><sup>+</sup>, NO<sub>3</sub><sup>-</sup> i ukupni PO<sub>4</sub><sup>-3</sup> (filtrat) na sektoru Jasenovac – Sl. Brod.

Fig. 5. River Sava – simultaneous analysis 29. 8.–1. 9. 1978 change of pH value and concentration ionum ammonium, nitrate, and total phosphorus (filtrate) on the section of Jasenovac – Sl. Brod.

RIJEKA SAVA – SIMULTANA ANALIZA 29.8./1.9. 1978.  
PROMJENE KONCENTRACIJA IONA Ca, KMnO<sub>4</sub>, SUSP. TVARI  
O<sub>2</sub> i BPK<sub>5</sub> NA SEKTORU JASENOVAC-BROD (1465)



$\text{NH}_4^+$  i  $\text{NO}_3^-$  – određuje se metodom po Hellige-u

Ukupni fosfati određivani su iz (filtrata) spektrofotometrijskom metodom »molibdenskog modrila«. Apsorbancija je mjerena na valnoj duljini od 690 nm.

U cilindar s ubrušenim čepom od 0,1 dm<sup>3</sup> stavi se uzorak vode koji nema boje ni mutnoće, doda se 4 cm<sup>3</sup> amonijeva reagensa i 10 kapi otopine stano klorida. Usaporedo se radi i slijepa proba. Nakon jedne minute čeka se da se razvije boja i mjeri apsorbancija.

## 5. ZAKLJUČAK

U zimskom razdoblju na dionici od utoka Une u Savu do utoka Velikog Struga dolazi do pada vrijednosti  $\text{KMnO}_4$ ,  $\text{BPK}_5$ . Slične promjene samo manjeg intenziteta zbivaju se sa pH vrijednosti dok  $\text{NH}_4^+$  i  $\text{NO}_3^-$  pokazuju lagani porast. Koncentracija kisika na cijelom istraživanom sektoru zadržava gotovo do konstantne vrijednosti cca 10mg.dm<sup>-3</sup>, što je rezultat niskih temperatura vode i visoke turbulentnosti Save.

Nakon utoka Velikog Struga, Jablanice i Malog Struga dolazi do manjeg porasta  $\text{KMnO}_4$  i  $\text{BPK}_5$  dok  $\text{NH}_4^+$  i  $\text{NO}_3^-$  pokazuju znatniju vrijednost. Vrijednosti pH pokazuju tendenciju rasta nakon utoka Orljave, raste do pH 8,5 dok su ostali parametri u padu. Fosfatne vrijednosti na cijelom sektoru ne pokazuju neke veće promjene izuzev nakon utoka Ukraine.

U razdoblju od 29. 8/1. 9. 1978. simultane analize ukazuju na vrlo velike oscilacije pH vrijednosti na cijelom istraživanom potezu, a visoke vrijednosti dostižu se nakon utoka Rešetarice.  $\text{BPK}_5$  vrijednosti su prilično niske u odnosu na  $\text{KMnO}_4$ , što može biti uvjetovano prisustvom nekog inhibitora bakteriološke aktivnosti. Koncentracija kisika niža je nego u zimskom periodu i zadržava konstantne vrijednosti tokom cijelog istraživanog sektora. Amonijeve vrijednosti pokazuju manje oscilacije u odnosu na zimsko razdoblje i nešto veći porast nakon utoka Mrsunje, a koncentracija se nitrata povećava nakon utoka Vrbasa i Ukraine. Prema tome, promatrajući krivulje grafičkih prikaza ispitivanih parametara, može se uočiti da u oba vremenska razdoblja pritoke Save imaju snažne autopurifikativne procese, koji se uočavaju od dionice do dionice.

## LITERATURA

- American Public Health Association, 1965: Standard Methods for the Examination of Water and Wastewater, 12<sup>th</sup> Edition, American Public Health Association, Inc. | New York, 769 pp.
- Biblioteka Saveznog Zavoda za zdravstvenu zaštitu 10, Standardne metoda za fizičko-hemijsko i bakteriološko ispitivanje voda, 1961: »Slobodan Jović«, Beograd, 108 str.
- Cvijić, J. 1926: Osnove za geografiju i geomorfologiju, Beograd, M. Sladekovića XXXV + 131 str.
- Fachgruppe Wasserchemie, 1982: Deutsche Einheitsverfahren zur Wasser-Abwasser und Schlammm Untersuchung, Weinheim, Deerfield Beach, Florida, Basel.
- Herjavec, D., Mikić Vj., Turković B., 1969: Erozija i nanos u slivu rijeke Save. Direkcija za Savu, Zagreb 36–52.
- Iveković, H., 1941: Metode za pretragu vode pomoću Hellige-ovog komparatora, VPS, VII, 339–355.
- Miletić, P., 1969: Hidrogeološke karakteristike sjeverne Hrvatske, Geološki vjesnik 22, 511–524.

## SUMMARY

An investigation of the Sava River water was carried out from 16–19 January and 29 August–1 September, 1978 from the mouth of the Una River to the mouth of Mrsunja into the Sava, which embrace the sections selected in respect to the other tributaries situated within the investigated area.

The water sampling was carried out simultaneously with synchronized measurements during a three day period adjusted to the water velocity.

By means of selected parameters and their results (consumption of  $\text{KMnO}_4$ , determination of oxygen content,  $\text{BPK}_5$ , ammonium, nitrate, suspended matters, total phosphorus – filtrate – Ca, and pH value) it could be concluded that in both investigated periods the Sava tributaries are responsible for the deterioration of water quality of the Sava and possess strong autopurification characteristics, which are observed from section to section.